



## Evaluation of a Chickpea Harvesting Header with Perforated Plate

A. Niazi<sup>1</sup>, H. Golpira<sup>2</sup>, H. Samimi Akhijahani<sup>3\*</sup>

1- Graduate student of Mechanics of Agricultural Machinery, University of Kurdistan, Sanandaj, Iran

2- Assistant Professor of Department of Biosystem Engineering, University of Kurdistan, Sanandaj, Iran

3- Assistant Professor of Department of Biosystem Engineering, University of Kurdistan, Sanandaj, Iran

(\*- Corresponding Author Email: [h.samimi@uok.ac.ir](mailto:h.samimi@uok.ac.ir))<https://doi.org/10.22067/jam.2021.69403.1028>

Received: 15-03-2021

Revised: 07-08-2021

Accepted: 01-09-2021

Available Online: 04-09-2021

**How to cite this article:**Niazi, A., Golpira, H., & Samimi Akhijahani, H. (2022). Evaluation of a Chickpea Harvesting Header with Perforated Plate. *Journal of Agricultural Machinery*, 12(4), 481-495. (in Persian with English abstract). <https://doi.org/10.22067/jam.2021.69403.1028>

### Introduction

One of the biggest problems in growing legumes like peas is harvesting these types of crops. During the machine harvesting process the harvest loss is very high. Therefore, in most parts of Iran chickpea harvested by hand and this is very tedious. Based on the literature review there are different types of harvesting machines which designed, constructed and optimized by Miller *et al.*, 1990; Golpira, 2015; Shahbazi, 2011; Jalali and Abdi, 2014; Mahamodi, 2016. But using different varieties of chickpea in mountainous areas has limited the use of harvesting mechanisms. The purpose of this study is mechanization of the harvesting process of chickpea with low losses and suitable performance. Moreover the optimization process of lowering the weight of the header was carried out by modeling of software.

### Materials and Methods

To reduce the amount of chickpea losses from the reel, a perforated plate with defined holes was installed in the header, where the separated chickpea pods fell behind the plate without returning to the farm. By using the plate in the header of the chickpea harvesting machine and by changing the harvesting height at the three levels of 10, 15 and 20 cm and the distance of the cutter at three levels of 3, 5 and 7 mm, the performance of the machine was evaluated. The experiments were carried out with *Caboli* variety cultivated in Kurdistan province, which is proper for mountainous areas without regular watering condition in three replications. The plants were placed in a fiber, wooden plate considering farm conditions. In addition, the header was modeled statically and dynamically under the influence of the external forces applied to the header using Ansys and Abaqus software. Based on the actual data, the validity of the applied model was determined and according to the verification results the optimization of the header was performed considering minimal weight (to reduce energy consumption).

### Results and Discussion

The evaluation results of the performance of header showed that the effects of using perforated plate and the height of the header for harvesting on the chickpea harvesting and losses are significant at the level of 1% and 5%, respectively, and the interaction between perforated plate and the header height on the chickpea loss is significant at 5%. Using a perforated plate in the harvesting machine increases the amounts of chickpea collected from the farm increases. In this condition the chickpea pods separated from the plant and passed through the plate. With the separation of the stems, due to the proper wear that exists between the plate and the reel, the pods are properly separated and pass through the perforated plate. Moreover, the chickpea loss is higher for the system without perforated plate. The effect of the distance between the reel and header plate is affects the remaining chickpea on the plate. By increasing the distance from 5 mm to 7 mm the amount of harvested had a considerable effect. The best method of harvesting chickpeas is at the kinematic index of 1.5 with perforated plate, the harvesting height of 15 cm and the distance of 5 mm. According to modeling processes of the reel and the results of the static analysis, the minimum and maximum stress values were recorded about 3.31 MPa and 6.50 MPa (based on the von misses criteria), respectively, which is very small compared to the yield stress of the reel constructed with St-37. Also, the results of the dynamic analysis of the reel showed that the maximum von misses stress occurred with increasing the kinematic index. The maximum stress for kinematic index of 1, 1.5 and 2 was observed about 32.2, 40.1 and 52.72 MPa, respectively. The results of 3D model validation showed that the applied model with Abaqus software ( $R^2 > 0.9264$ ) was able to predict the amount of stress in different parts of the reel.

## **Conclusion**

In this study, the changes were made on the chickpea harvesting machine to get the proper performance and increasing machine efficiency. A perforated plate was used to prevent pea's losses. The best condition for the harvesting process is obtained with the harvesting height of 15 cm and the distance of 5 mm. By using 3D modeling of the reel weight was reduced about 10%.

**Keywords:** Loss, Modeling, Optimization, Perforated plate, Stress

## مقاله پژوهشی

جلد ۱۲، شماره ۴، زمستان ۱۴۰۱، ص ۴۹۵-۴۸۱

## ارزیابی یک نوع چرخ‌فلک ماشین برداشت نخود با صفحه مشبک در دماغه

علی نیازی<sup>۱</sup>، هیوا گل‌پیرا<sup>۲</sup>، هادی صمیمی اخیحجانی<sup>۳\*</sup>

تاریخ دریافت: ۱۳۹۹/۱۲/۲۵

تاریخ پذیرش: ۱۴۰۰/۰۶/۱۰

## چکیده

یکی از بزرگ‌ترین مشکلاتی که در کشت بقولاتی مانند نخود وجود دارد، برداشت این محصولات با ریزش بسیار زیاد است. هدف از اجرای این پژوهش، برداشت مکانیزه نخود با تلفات کم و عملکرد مزرعه‌ای مناسب است. طراحی این ماشین به گونه‌ای است که همانند کمباین‌های متداول برداشت غلات قابلیت تنظیم موقعیت چرخ فلک نسبت به دماغه و تغییر ارتفاع را دارد. همچنین برای کاهش ریزش دانه ناشی از بازگشت محصول برداشت شده صفحه مشبکی به زیر چرخ فلک اضافه شد. در این تحقیق چرخ فلک برداشت نخود با هدف کاهش تلفات دانه مورد ارزیابی قرار گرفته و مدل‌سازی، تحلیل دینامیکی و استاتیکی چرخ فلک ماشین برداشت نخود انجام گرفته است. سامانه باز طراحی شده با تغییر عوامل تاثیرگذار شامل دماغه با صفحه مشبک و بدون صفحه مشبک، ارتفاع شانه برش نسبت به زمین در سه سطح ۱۰، ۱۵ و ۲۰ سانتی‌متر و فاصله چرخ فلک از شانه در سه سطح ۳، ۵ و ۷ میلی‌متر در سه تکرار مورد ارزیابی قرار گرفت. تحلیل آزمایش‌ها در قالب طرح کاملاً تصادفی انجام شد. نتایج آماری نشان داد، استفاده از صفحه مشبک تاثیر معنی‌داری در سطح یک درصد بر مقدار برداشت و ریزش داشته است اما در مورد نخود باقی‌مانده بر روی بوته این اثر در سطح ۵ درصد معنی‌دار شد. تاثیر ارتفاع دماغه از سطح زمین بر میزان برداشت در سطح ۵ درصد معنی‌دار بود. همچنین اثر متقابل ارتفاع برداشت و صفحه مشبک نیز بر میزان ریزش در سطح ۵ درصد معنی‌دار شد. بیشترین تاثیرگذاری بر نخود باقی‌مانده بر روی بوته در اثر فاصله بین چرخ فلک و دماغه به وجود آمد. علاوه بر آن برای بهینه‌سازی ابعادی اجزای چرخ و فلک از روش اجزای محدود سه بعدی با تحلیل تغییر شکل و شکست با معیار ون میسز (von-Mises) استفاده شد. به کمک مدل‌سازی رایانه‌ای و با توجه به تجزیه و تحلیل دینامیکی مدل جدیدی از چرخ فلک برای ماشین برداشت با هدف کاهش وزن، ارائه شده. در طرح ارائه شده با توجه به نیروی متقابل بین محصول و چرخ فلک ماشین برداشت نخود، میزان قابل توجهی از وزن چرخ فلک کاسته شد.

واژه‌های کلیدی: بهینه‌سازی، تنش، ریزش، صفحه مشبک، مدل‌سازی

## مقدمه

(Samineni, Siddique, Gaur, & Colmer, 2011). نخود منبع اصلی پروتئین در کشورهای در حال توسعه است و نقش ویژه‌ای در تولید غذا را در این کشورها دارد (Anjum, 2016). با وجود این که ایران جزء بزرگ‌ترین کشورهای تولیدکننده نخود می‌باشد، اما همچنان برداشت آن با مشکل مواجه بوده و به صورت سنتی و با دست انجام می‌شود. علاوه بر آن برای مدیریت صحیح در برداشت نخود، کشاورز بایستی در تعیین زمان برداشت دقت کافی اعمال نماید (Konak, Carman, & Aydin, 2002). تلفات برداشت ماشین‌های برداشت در دو بخش دماغه و واحد کوبش اتفاق می‌افتد. واحد برش از دماغه تا حدود ۶۸ درصد از تلفات حین برداشت را به خود اختصاص می‌دهد (Ebrahimi-Nik, Khademolhosseini, Abbaspour, Fard, Mahdini, & Alami-Saied, 2009). علاوه بر آن تأثیر سرعت پیشروی کمباین و سرعت دوران چرخ فلک نیز بایستی در تلفات دانه در زمان برداشت باید به دقت مورد بررسی قرار گیرد

نخود با نام علمی سیسر آریتینوم (*Cicer Arietinum L.*) گیاهی است دولپه‌ای از خانواده بقولات که ارتفاع بوته‌ی آن در حدود ۳۰ سانتی‌متر است (Razavi, Zaerzadeh, Khafaji, & Pahlevani, 2010). این محصول به واسطه ارزش غذایی و پروتئین موجود در آن، تثبیت نیتروژن در زمین و درآمد آن برای کشاورزان بسیار مورد توجه است (Guler, Sait-Adak, & Ulkan, 2001).

۱- دانش‌آموخته کارشناسی ارشد مکانیک ماشین‌های کشاورزی، دانشگاه کردستان، سنندج، ایران  
۲- استادیار گروه مهندسی بیوسیستم، دانشگاه کردستان، سنندج، ایران  
۳- استادیار گروه مهندسی بیوسیستم، دانشگاه کردستان، سنندج، ایران  
\* نویسنده مسئول: (Email: h.samimi@uok.ac.ir)  
<https://doi.org/10.22067/jam.2021.69403.1028>

عملکرد ماشین را افزایش می‌دهد. هیرای و همکاران (Hirai, Inoue, & Mori, 2004) به کمک سامانه‌های نیروی وارده از سوی چرخ فلک کمباین برداشت غلات را که به ساقه محصول وارد می‌گردد، مورد تجزیه و تحلیل قرار دادند. آن‌ها با آنالیز خمشی و پاسخ دینامیکی ساقه محصول، نیروهای افقی و عمودی را در دو حالت آزمایشگاهی و شبیه‌سازی شده، بررسی نمودند. در حالت خمش ماکزیمم نیروی عکس‌العمل افقی هر بوته گندم ۳/۱ نیوتن و مقدار حداکثر آن در راستای عمودی ۰/۸ نیوتن به‌دست آمد. شهبازی (Shahbazi, 2011) با توسعه یک نوع سامانه ارزیابی، تأثیر صدمات ضربه‌ای که از دندان‌های چرخ فلک به ساقه نخود وارد می‌شود را بررسی نموده و نتایجی را در خصوص طراحی ماشین برداشت نخود ارائه کرد. گل‌پیرا و همکاران (Golpira, Tavakoli, & Baerdemaeker, 2013) بر اساس اصول غلاف چین‌ها نمونه‌ای نوین از ماشین برداشت نخود را ارائه نمود که در آن از مکانیزم دماغه مجهز به انگشتی‌های ثابت غلاف چین استفاده نموده بود. جلالی و عبدی (Jalali & Abdi, 2014) با بیان این‌که عملکرد مناسب مکانیزم برش از سرعت پیشروی، سرعت محیطی چرخ فلک، ارتفاع برش، رطوبت محصول و نوع محصول ناشی می‌شود، اثر شاخص سینماتیک و ارتفاع برش را بر افت دماغه کمباین مورد مطالعه قرار دادند. نتایج نشان داد که بیش‌ترین افت مربوط به بیش‌ترین شاخص سینماتیکی است. زارعی و عبدالله پور (Zareei & Abdollahpour, 2016) در تحقیق مشابه شبیه‌سازی سیستم کنترل فازی عصبی افت برای بهینه کردن تنظیمات هد کمباین غلات را انجام دادند. شاخص سینماتیکی، ارتفاع برش محصول، فاصله افقی و عمودی چرخ فلک از شانه برش عواملی بودند که برای بررسی انتخاب شدند. با بهینه‌سازی، مقادیر ۱/۲، ۱/۵ و ۲/۵ برای شاخص سینماتیکی چرخ فلک، ارتفاع برش محصول و مسافت افقی و عمودی چرخ فلک از شانه برش به‌دست آمد و تلفات کمباین به میزان قابل توجهی (۱۰۳ کیلوگرم در هکتار) کاهش یافت. محمودی (Mahmoudi, 2016) چرخ فلک مخصوص دماغه غلاف چین نخود را طراحی نمود که با پیشروی ماشین در مزرعه، انگشتی‌های ثابت غلاف چین در ارتفاع مماس با سطح زمین به داخل محصول ایستاده نفوذ می‌کند. هم‌زمان با پیشروی ماشین پره‌های چرخ فلک غلاف چین که تحت فشار فن‌های پیچشی بودند، بوته نخود را به سمت شانه غلاف چین هدایت کرده و با اعمال فشار به بوته از لغزش محصول در شانه ممانعت به‌عمل می‌آید. گل‌پیرا و گل‌پیرا (Golpira & Golpira, 2017) مدل‌سازی فرا ابتکاری برای بهینه‌سازی ماشین برداشت نخود انجام دادند که استفاده از آن باعث کاهش زمان، هزینه، آزمایش‌های مزرعه و تحلیل‌های آماری می‌شد. ترکیب الگوریتم ژنتیک با مدل فازی و الگوریتم محاسباتی ترکیبی ایجاد نمود که از طریق آن، بهترین اندازه

(Griffin, 1973). از طرف دیگر مشکلاتی از قبیل عدم یکنواختی در رسیدگی، ناهموار بودن زمین، کوتاه بودن بوته و خشک بودن بیش از حد آن هنگام برداشت، کشت گسترده محصول را محدود می‌سازد (Zobeiri, Rostampour, Rezvanivand Fanaei, & Nikbakht, 2020; Modares Motlagh, Rostampour, & Mardani, 2018; Singh, Gaur, Singh, & Chaturvedi, 2018). محققان تاکنون اقدامات زیادی برای ساخت ماشین برداشت نخود انجام داده اند، اما هنوز ماشینی که بتواند این محصول را با تلفات قابل قبول به‌خصوص در مناطق کوهستانی برداشت نماید ارائه نداده‌اند و در مناطق زیادی از کشور برداشت این محصول هنوز با دست انجام می‌گیرد. برداشت نخود به‌صورت دستی با کندن بوته از خاک همراه با ریشه انجام می‌شود که این نوع برداشت معایبی دارد (Golpira, Tavakoli, Khoshtaghaza, M. H., & Minaei, 2009; Behroozi-lar & Huang, 2002; Modares Motlagh et al., 2018; Sidahmed & Jaber, 2004) -۱ با کندن بوته همراه با ریشه، نیتروژنی که می‌تواند توسط ریشه در خاک تثبیت شود، از دسترس خارج می‌شود. ۲- پس از جدا کردن دانه از کاه و کلش مواد باقی‌مانده به دلیل داشتن ازت زیاد در ریشه و همچنین خاک، برای تعلیف دام مناسب نیستند. ۳- هزینه برداشت به دلیل هزینه کارگری، بسیار بالا و طاقت‌فرساست؛ بنابراین چین استنباط می‌شود که روش سنتی کندن بوته از زمین روش مناسبی برای برداشت نخود نباشد. همان‌طور که اشاره شد، از آنجا که محصول نخود در مرحله رسیدگی و به هنگام برداشت مستعد ریزش می‌باشد، چالش عمده کشاورزان به حداقل رساندن تلفات حاصل از برداشت است. به‌طور غالب در ماشین‌های برداشت دانه برای هدایت محصول به سمت دستگاه برش از مکانیزم چرخ فلک استفاده می‌کنند. ساختار چرخ فلک متناسب با نوع و شرایط محصول و همچنین نوع دستگاه برداشت می‌تواند متفاوت باشد. اغلب چرخ فلک‌های به کار رفته در ماشین‌های برداشت از نوع پره‌ای و یا انگشتی‌دار است. در این نوع چرخ فلک‌ها سرعت دورانی و موقعیت قرارگیری چرخ فلک نسبت به سکوی برش، از عوامل قابل تغییر در چرخ فلک هستند. سرعت دورانی چرخ فلک با سرعت پیشروی ماشین برداشت رابطه مستقیم دارد. در بیشتر شرایط محصول، نسبت سرعت محیطی چرخ فلک به سرعت پیشروی کمباین بین ۱/۲۵ تا ۱/۵۰ متغیر است (Mansori-Rad, 2006; Dehghan-Hesar & Kalantari, 2019; Srivastava, Goering, Rohrbach, & Buckmaster, 2006; Golpira, 2015).

تحقیقات محدودی در زمینه طراحی و ساخت و حتی نحوه تغییر مکانیزم‌ها برای برداشت نخود انجام شده است. میلر و همکاران (Miller, Wright, Mailander, & Beard, 1990) یک نوع چرخ فلک با ساختار مثلی با زوایای یکسان به جای نوع ثابت را روی ماشین برداشت ارائه کردند. نتایج نشان داد که استفاده از این مکانیزم

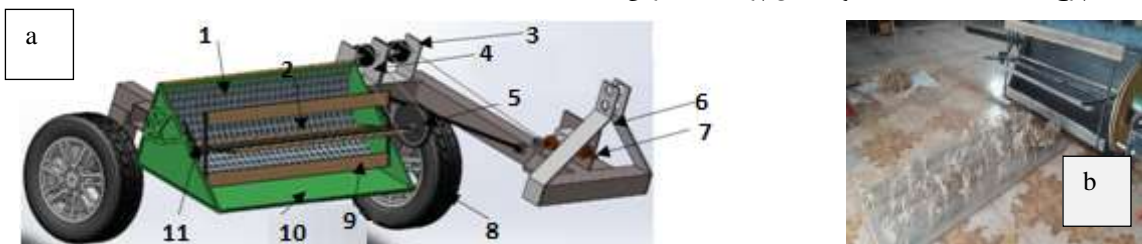
محصول به طور قابل توجهی کاهش می‌یابد. با مطالعه تحقیقات پیشین این نوع مکانیزم برای محصولاتی نظیر گندم و جو به دلیل اتصال پایدار بخش بارده به ساقه امکان‌پذیر نیست. بنابراین در این تحقیق تأثیر متغیرهای ورودی آزمایش شامل صفحه مشبک، ارتفاع دماغه و فاصله افقی چرخ فلک نسبت به کف دماغه بر عملکرد سامانه (میزان افت و ریزش) انجام گرفته و یک ترکیب بهینه از پارامترها بر اساس بهترین کارکرد دستگاه ارائه شده است. علاوه بر آن، مدل‌سازی سامانه هم‌زمان با تغییر شاخص سینماتیکی با استفاده از نرم‌افزار Ansys برای حالت استاتیکی و Abaqus برای حالت دینامیکی انجام شده و بهینه‌ترین حالت با در نظر گرفتن میزان تنش و کرنش چرخ فلک و با هدف کاهش وزن دستگاه و تغییر در ابعاد چرخ فلک، معرفی شد. انتظار می‌رود استفاده از این سامانه تا حد زیادی بتواند به برداشت محصول با کمترین ریزش و بیشترین عملکرد کمک کند.

### مواد و روش‌ها

برای انجام این پژوهش ماشین بردارنده پشت تراکتوری طراحی شده توسط گلیپرا و همکاران (Golpira et al., 2009) که قابلیت تنظیم ارتفاع را داشته و تنظیم ارتفاع چرخ فلک به گونه‌ای متناسب با ارتفاع ساقه‌ی محصول تغییر می‌نمود، مورد استفاده قرار گرفت. همان‌طور که اشاره شد یکی از مهم‌ترین مشکلاتی که بر سر راه برداشت نخود به خصوص در مناطق کوهستانی مانند کردستان وجود دارد، ریزش محصول است. در ماشین بردارنده طراحی شده این امر به‌طور واضح بیان شده است (Zandiye, 2016). صفحه مشبک مورد نظر بر روی شانه برش و در امتداد انحنای چرخ و فلک قرار داده شد. در سامانه قبلی با برخورد چرخ و فلک به بوته غلاف نخود از بوته جدا شده و به قسمت انتهایی مخزن دماغه حرکت می‌کرد. به دلیل سرعت زیاد چرخ فلک برای ضربه و سایش غلاف‌ها به بیرون از دماغه پرتاب می‌شدند. علاوه بر آن در برخی مواقع به دلیل رطوبت کم بوته‌ها در مزرعه، غلاف‌ها همراه با ساقه‌ها وارد دماغه شده و یا در اثر دوران چرخ فلک به صورت کامل از دماغه به سمت بیرون پرتاب می‌شوند.

سکوی برش جهت توسعه ماشین برداشت نخود پیش‌بینی شد. مردانی (Mardani, 2016) مشکلات برداشت نخود را در ایران، فصل رشد کوتاه و تنش‌های خشکی وارده بر گیاه (که موجب خوابیدگی و افزایش حساسیت به ریزش می‌گردد)، بیان نموده است؛ او با بررسی رفتار و خصوصیات نخود، استفاده از دماغه‌های لخت‌کننده را گزینه مناسبی جهت برداشت محصول نخود پیشنهاد داده است. زندیه (Zandiyeh, 2016) در بررسی تلفات ماشین برداشت غلات بیان نمود که بیشترین میزان افت مربوط به دماغه است؛ او با کاهش تلفات دماغه و کاهش ریزش دانه اقدام به طراحی و پیاده‌سازی سامانه کنترل سرعت دورانی چرخ فلک به صورت حلقه بسته نمود. با استفاده از حسگر مافوق صوت تراکم محصول را اندازه‌گیری نموده و به دنبال آن سرعت دورانی چرخ فلک تنظیم گردید.

یکی دیگر از عواملی که بر افزایش توان مورد نیاز در برداشت محصول و حتی میزان ریزش محصول تأثیر می‌گذارد، سنگین بودن وزن دستگاه است که این امر موجب محدود شدن میزان قدرت عمل سامانه، پرش محصول و ارتعاشات نامتعارف در هنگام برداشت می‌گردد (Tieppo, Romanelli, Milan, Sorensen, & Bochtis, 2019). در مناطق کوهستانی مانند کردستان به دلیل محدودیت‌های آبی که در چند سال اخیر به وجود آمده است، نخود به‌طور عمده به صورت دیم کشت می‌شود. بنابراین کشت رقم پاکوتاه در این منطقه به دلیل مقاومت به کم آبی بیشتر از گونه‌های دیگر در اولویت قرار دارد. این عامل باعث شده است که استفاده از مکانیزم‌های مشابه برای برداشت محدود گردد. همان‌طور که اشاره شد یکی از مشکلات مهم در برداشت نخود، ریزش محصول است. در این تحقیق با استفاده از افزودن یک صفحه مشبک به دماغه ماشین بردارنده نخود، سعی در کاهش میزان ریزش و افزایش بهره‌وری سامانه خواهد شد. در این حالت غلاف نخود با جدا شدن از ساقه و با حرکت چرخ فلک از سوراخ‌های صفحه عبور کرده و به سمت عقب دماغه منتقل می‌شود. علاوه بر آن ساقه محصول که غلاف‌ها به آن متصل هستند، با سایش پره‌های چرخ فلک از ساقه جدا شده و احتمال پرتاب یا ریزش



**شکل ۱- الف)** شماتیک ماشین بردارنده نخود ۱. صفحه توری دار، ۲. محور میانی، ۳. جعبه دنده تغییر سرعت، ۴. مکانیزم تسمه و پولی، ۵. پولی و محور، ۶. مالیند، ۷. شفت تواندهی، ۸. چرخ‌های حامل، ۹. چرخ فلک، ۱۰. دماغه، ۱۱. بازوی تنظیم، ب) نحوه برداشت محصول برای آزمایش‌ها

**Fig. 1. a)** Schematic of Chickpea harvesting machine, 1. Perforated plate, 2. Middle axis, 3. Speed change gearbox, 4. Belt and pulley mechanism, 5. Pulley and axle, 6. Belt, 7. Power shaft, 8. Carrier wheels, 9. Reel, 10. Header, 11. Adjustment arm b) The harvesting process for the experiments

$$\lambda = \frac{r \pi n}{30 V_f} \quad (1)$$

که در آن  $r$  شعاع چرخ فلک،  $n$  سرعت دوران چرخ فلک و  $V_f$  سرعت انتقالی چرخ فلک یا سرعت پیشروی تراکتور است. برای ارزیابی ماشین، شاخص سینماتیکی در سطح پیشنهاد شده  $1/5$  با سرعت  $2/5$  کیلومتر بر ساعت (Zandiye, 2016)، ارتفاع شانه برش نسبت به زمین در سه سطح  $10$ ،  $15$  و  $20$  سانتی‌متر و فاصله چرخ فلک از شانه در سه سطح  $3$ ،  $5$  و  $7$  میلی‌متر در دو حالت با صفحه مشبک و بدون صفحه مشبک، در سه تکرار مورد ارزیابی قرار گرفت. سطوح انتخاب شده برای ارتفاع برداشت بر اساس میانگین بیشترین و کمترین ارتفاع قرارگیری غلاف نخود کابلی از زمین در نظر گرفته شد. همچنین خصوصیات هندسی غلاف نخود نیز مبنای تعیین سطوح فاصله عمودی از کف دماغه لحاظ گردید. آزمون برداشت در شرایط رسیدگی کامل محصول نخود با رطوبت حداکثر  $14$  درصد انجام گرفت. ارزیابی‌ها شامل تعیین میزان ریزش، غلاف‌های باقی‌مانده روی بوته و برداشت محصول با استفاده از آزمایش فاکتوریل بر مبنای طرح کاملاً تصادفی با سه تکرار انجام شد.

محاسبات برداشت بر مبنای شمارش تعداد غلاف‌های نخود صورت گرفت. به عبارت دیگر تعداد غلاف‌هایی که داخل سینی سکوی برش قرار می‌گرفت به‌عنوان محصول برداشت‌شده در نظر گرفته شد. غلاف‌هایی که از بوته جدا شده اما داخل سینی قرار نگرفتند، به‌عنوان محصول تلف‌شده در محاسبات وارد شدند. در نهایت تعداد غلاف‌هایی که روی بوته نخود باقی مانده‌اند به‌عنوان محصول مانده لحاظ گردید. این تلفات در مزرعه یک تلفات واقعی و مؤثر است و با تلفات ناشی از ریزش دانه در زمان کندن بوته از زمین، جمع بسته شده است. تلفات در این سامانه به دو بخش تقسیم می‌گردد؛ بخش اول مربوط به تلفات غلاف‌های جامانده بر روی ساقه و بخش دوم غلاف‌های نخود که برداشت شده اما به دماغه منتقل نشده و به هر دلیلی ریزش کرده‌اند. به این ترتیب میزان درصد تلفات کل، تلفات غلاف‌های باقی‌مانده روی بوته و تلفات غلاف‌های افتاده بر روی زمین به ترتیب از روابط (۲)، (۳) و (۴) محاسبه گردید (Golpira et al., 2013):

$$H (\%) = \frac{p_c}{p_r + p_f + p_c} \times 100 \quad (2)$$

$$L_r (\%) = \frac{p_r}{p_r + p_f + p_c} \times 100 \quad (3)$$

$$L_f (\%) = \frac{p_f}{p_r + p_f + p_c} \times 100 \quad (4)$$

که در آن  $H$ ، درصد برداشت محصول،  $L_r$  درصد تلفات مربوط به غلاف‌های باقی‌مانده بر روی بوته (%)،  $L_f$  درصد تلفات مربوط به غلاف‌های افتاده بر روی زمین (%)،  $p_c$  تعداد غلاف‌های برداشت شده

بر این اساس برای کاهش ریزش و بهبود عملکرد سامانه از یک صفحه مشبک استفاده شد. در این حالت غلاف یا ساقه جدا شده از بوته فرصت زیادی برای ساییده شدن و قرار گرفتن در دماغه را داشته و با احتمال پایینی به بیرون انتقال می‌یابد. قسمت‌های مختلف ماشین بردارنده نخود در شکل ۱-الف نشان داده شده است. برای تنظیم فاصله عمودی چرخ فلک از کف دماغه در دو طرف چرخ فلک دو بخش تلسکوپی در نظر گرفته شده است که با حرکت چرخ فلک به سمت بالا و پایین این فاصله قابل تنظیم است. همچنین ارتفاع دماغه نیز با تنظیم‌کننده‌های متصل شده به چرخ‌های حامل امکان‌پذیر بود.

### ارزیابی آزمایشگاهی

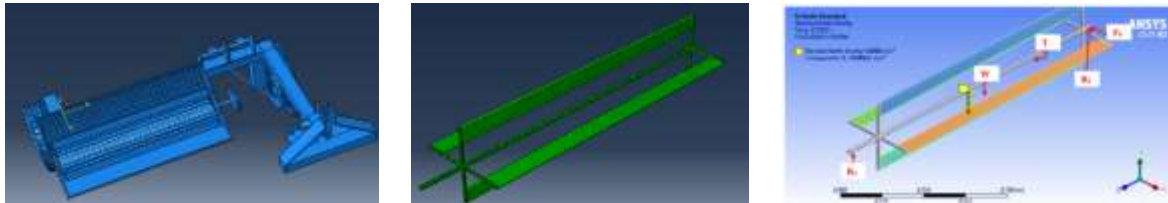
ماشین بردارنده نخود طراحی شده، تحت شرایط کاری تعریف‌شده در محیط کارگاه مهندسی مکانیک بیوسیستم دانشگاه کردستان مورد ارزیابی قرار گرفت. از مزرعه تحقیقاتی کشاورزی دانشگاه کردستان واقع در روستای دوشان از توابع شهرستان سنندج  $500$  بوته نخود به‌طور تصادفی از مزرعه‌ای انتخاب شدند. رقم نخود کشت‌شده کابلی با رطوبت  $14$  درصد و عملکرد  $500$  کیلوگرم در هکتار بود. به منظور ایجاد شرایط مزرعه‌ای در کارگاه، بوته‌های انتخاب‌شده روی یک نئوپان قرار داده شدند. نحوه قرارگیری بوته‌ها بر روی صفحه مشابه الگوی رویش بوته‌ها در مزرعه بود (شکل ۱-ب). بوته‌ها با استفاده از مخلوط چسب زیپر (Zipper, ZC02M, Tabriz, Iran) بر روی صفحه ثابت می‌شدند طوری که می‌توانست همان نیروی کششی مربوط به خاک که به ریشه وارد می‌شد ( $5/0 \pm 53/2$  کیلوگرم نیرو) را تأمین نموده و بوته به حالت ایستاده بدون تمایل به طرفین روی صفحه قرار گیرد. برای این کار از نیروسنج FD-564 با دقت یک درصد استفاده گردید. برای اندازه‌گیری نیروی وارد بر چرخ فلک و پره‌های آن از گستاورسنج Luron, 8800-Q با دقت  $0/1$  کیلوگرم سانتی‌متر استفاده شد که قابلیت اتصال به رایانه را داشته و با توجه به نمودارهای ترسیمی، بیشترین مقدار مبنای ارزیابی با نرم‌افزار قرار داده شد. به‌منظور تأمین شاخص سینماتیکی در حین برداشت، نئوپان حاوی بوته‌های نخود به‌وسیله تراکتور در سرعت‌های مشخص به چرخ و فلک ماشین برداشت تغذیه شد و هم‌زمان عملیات برداشت نخود انجام گرفت. مسیر حرکت پره‌های چرخ فلک نسبت به جهت پیشروی ماشین برداشت نخود و شعاع دوران چرخ فلک، منحنی سیکلوئیدی را تشکیل می‌دهند (Baruah & Panesar, 2005). برای توصیف رابطه بین سرعت پیشروی ماشین و سرعت دورانی از اصطلاحی به نام شاخص سینماتیکی ( $\lambda$ ) استفاده می‌گردد که عبارت است از نسبت سرعت خطی چرخ فلک به سرعت پیشروی ماشین و با استفاده از رابطه (۱) به‌دست می‌آید (Hanna & Quick, 2007):

پارامتر بررسی شد: ۱- ابعاد پره یا ضخامت پره ۲- سطح مقطع اتصال پره به میله وسط ۳- سطح مقطع میله وسط. مدل سازی با در نظر گرفتن عوامل محیطی شامل سرعت پیشروی، سرعت دورانی و نیروهای وارد شده از بوته ها انجام پذیرفت. به دلیل نیروهای مضاعفی که بر سامانه وارد می شود تمرکز بیشتر روی تحلیل دینامیکی سامانه بود. هر چند برای اطمینان، تحلیل استاتیکی نیز صورت پذیرفت. تحلیل استاتیکی چرخ فلک با استفاده از نرم افزار انسیس (Ansys-v19) و تحلیل دینامیکی از نرم افزار آباکوس (Abaqus-v18) انجام شد. در هر کدام از نرم افزارهای اشاره شده از روش اجزای محدود سه بعدی استفاده شد. برای پره ها مش هگزاهدرال به میانگین ۵ میلی متری و برای میله چرخ فلک مش هرمی میانگین ۴ میلی متر انتخاب شد که در شکل ۲ نشان داده شده است. شتاب گرانش در همه تحلیل ها  $9/81 \text{ m.s}^{-2}$  در نظر گرفته شد. محل های اتصال با قیدهای ال-ام و با قید tie به هم درگیر و متصل شدند. خواص فیزیکی و مکانیکی مواد استفاده شده در چرخ فلک در جدول ۱ برای استفاده در تحلیل های نرم افزاری لیست شده است. هم چنین در شکل ۲ برآیند کل نیروهای حجمی (وزن) تمام اجزای چرخ فلک در شکل با W نشان داده شده است. این نیرو توسط دو نیروی عکس العمل  $R_1$  و  $R_2$  در یاتاقان های نگه دارنده محور تحمل می شوند. در شرایط کاری چرخ فلک، گشتاور ورودی  $T_0$  (برحسب نیوتون متر) از طریق پولی به محور چرخ فلک اعمال می گردد و هم چنین نیروی کشش  $F_b$  ناشی از کشش تسمه و عکس العمل کشش تسمه در یاتاقان  $R_x$  بر محور چرخ فلک وارد می شوند.

توسط دماغه ماشین نخود،  $p_f$  تعداد غلاف های باقی مانده روی بوته،  $p_f$  تعداد غلاف های افتاده بر روی زمین می باشد. قبل از انجام آزمایش های برداشت در کارگاه ابتدا متغیرهای مستقل مانند سامانه با و بدون صفحه مشبک، ارتفاع و فاصله افقی چرخ فلک از شانه برش تنظیم شدند. برای تعیین دور محور تواندهی و دور محور چرخ فلک از یک دورسنج دیجیتال (P2795-PeackTech, Taiwan) با دقت  $0/1$  دور بر دقیقه و صحت ۵ درصد استفاده شد. در این بخش با تنظیم گاز تراکتور، دو پارامتر سرعت پیشروی و سرعت محور تواندهی که ارتباط مستقیم با سرعت محیطی چرخ فلک دارد تنظیم می شد. به منظور تعیین سرعت پیشروی تراکتور مسافت ۳۰ متر علامت گذاری شد. سپس در دنده های مختلف با تغییر دور موتور از طریق گاز دستی تراکتور سرعت پیشروی مورد نظر تنظیم شد.

### مدل سازی (تحلیل استاتیکی و دینامیکی)

یکی از مواردی که بر میزان مصرف انرژی، قدرت مانورپذیری و میزان ریزش محصول در هنگام برداشت تأثیر می گذارد، وزن سامانه برداشت است. افزایش وزن دستگاه نه تنها باعث افزایش نیروی مالیندی (انرژی مصرفی) می گردد، بلکه باعث کاهش قابل محسوس عملکرد بردارنده و مصرف بیشتر سوخت می شود. در این تحقیق مدل سازی چرخ فلک با هدف تعیین تغییر شکل بیشینه پره ها و کاهش وزن انجام گرفت. تغییر شکل زیاد پره ها باعث آسیب به سامانه یا نخود برداشت شده می شود. میزان تغییرات کرنش و تنش تحت اثر سرعت دورانی چرخ فلک و سرعت پیشروی با توجه به تغییر در سه



شکل ۲- مش بندی چرخ فلک و نیروهای وارد شده به آن با در نظر گرفتن نیروهای درونی و خارجی

Fig. 2. Meshing of reel and the forces applied to it considering internal and external forces

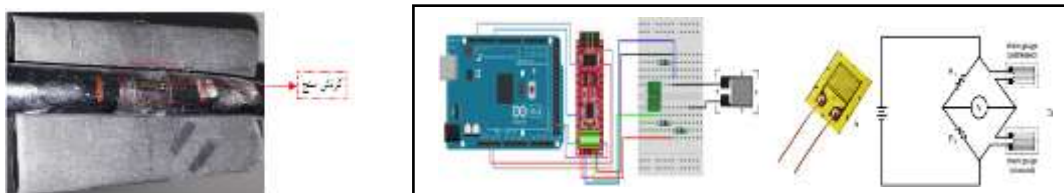
### جدول ۱- خصوصیات فیزیکی و مکانیکی میله و پره های چرخ فلک

جنس مواد	نسبت پواسون	چگالی ( $\text{kg.m}^{-3}$ )	مدول الاستیسیته (MPa)
Material type	Poisson's ratio	Density	Elasticity modulus
فولاد	0.3	7830	205
Steel			
چوب	0.27	1000	0.7
Wood			

ضریب طراحی با استفاده از رابطه (۵) با تقسیم تنش طراحی  $\sigma_d$  بر تنش محاسباتی  $\sigma_c$  به دست آمد (Shigley, 2011):

$$SF = \frac{\sigma_d}{\sigma_c} \quad (5)$$

برای پی بردن به دقت مدل‌سازی صورت گرفته توسط نرم‌افزار بایستی درستی نتایج به دست آمده مورد ارزیابی قرار گیرد. به این منظور از یک بورد و چند کرنش‌سنج که در محل‌های مورد نظر روی چرخ‌فلک نصب می‌شدند، استفاده گردید. شماتیک کرنش‌سنج‌ها و طریقه نصب آن روی قطعه در شکل ۳ نشان داده شده است. میزان تنش وارد شده در قسمت‌های مختلف شامل محور وسط و میله‌های اتصال بودند. نتایج به دست آمده از نرم‌افزار با نتایج به دست آمده از آزمایش کرنش‌سنج مورد مقایسه قرار گرفته و دقت شبیه‌سازی حاصل شد.



شکل ۳- شماتیک مدار استفاده شده برای صحت‌سنجی و کرنش‌سنج قرار گرفته روی قطعه برای اندازه‌گیری میزان تنش  
Fig. 3. The schematic of circuit and strain gages to measure the stress of the part

مشبک حداقل به میزان ۴/۵ درصد باعث کاهش ریزش می‌گردد. ارتفاع بردارنده نیز در سطح ۵ درصد بر ریزش دستگاه بردارنده تاثیر می‌گذارد. اما در این حالت نیز فاصله چرخ‌فلک از کف دماغه بر میزان برداشت معنی‌دار نمی‌باشد. اثر متقابل متغیرهای صفحه مشبک و ارتفاع بردارنده بر میزان ریزش در سطح ۵ درصد معنی‌دار است. اما اثرات دوگانه صفحه مشبک با فاصله چرخ‌فلک و ارتفاع بردارنده با فاصله و اثر سه‌گانه بر میزان ریزش محصول معنی‌دار نیست. نتایج تجزیه واریانس اثر متغیرها نشان داد که وجود صفحه مشبک بر میزان نخود باقی‌مانده بر روی بوته در سطح ۵ درصد معنی‌دار است. اثر فاصله چرخ‌فلک از کف بردارنده نیز در سطح یک درصد معنی‌دار می‌باشد. به عبارت دیگر تغییر این فاصله تاثیر زیادی بر میزان بر محصول باقی‌مانده به دلیل کنده شدن غلاف از بوته دارد. اثر چندگانه بر محصول باقی‌مانده بر روی بوته نخود در هیچ کدام از سطوح یک و ۵ درصد معنی‌دار نیست.

## نتایج و بحث

در جدول ۲ نتایج تجزیه واریانس اثرات پارامترهای مختلف چرخ‌فلک بر مقدار نخود برداشت شده، نشان داده شده است. میزان برداشت محصول با استفاده از سامانه بردارنده نخود در یک آزمایش فاکتوریل  $3 \times 3$  با طرح کاملاً تصادفی در ۳ تکرار بررسی شد. بررسی نتایج نشان داد که وجود صفحه مشبک در سامانه تاثیر معنی‌داری در سطح یک درصد در برداشت محصول داشت. همچنین تغییرات ارتفاع دماغه بر میزان برداشت محصول در سطح ۵ درصد معنی‌دار بود. اثر متغیر دیگر یعنی فاصله چرخ‌فلک از شانه برش به تنهایی معنی‌دار نبوده است. اثر متقابل دوگانه و سه‌گانه متغیرهای اشاره بر میزان برداشت محصول نیز معنی‌دار نبود. به عبارت دیگر با تغییرات هم‌زمان متغیرهای اشاره شده میزان برداشت محصول تغییر محسوسی نداشت. علاوه بر آن در جدول ۲ اثر وجود یا عدم وجود صفحه مشبک بر ریزش نخود در سطح یک درصد معنی‌دار می‌باشد. وجود صفحه



جدول ۲- نتایج تجزیه واریانس اثرات پارامترهای مختلف چرخ فلک بر مقدار نخود برداشت شده، باقی مانده روی بوته و ریزش یافته

Table 2- The results of analysis variance of the effects of different parameters of the header on the amount of harvested chickpea, chickpea loss and residual chickpea on the plant

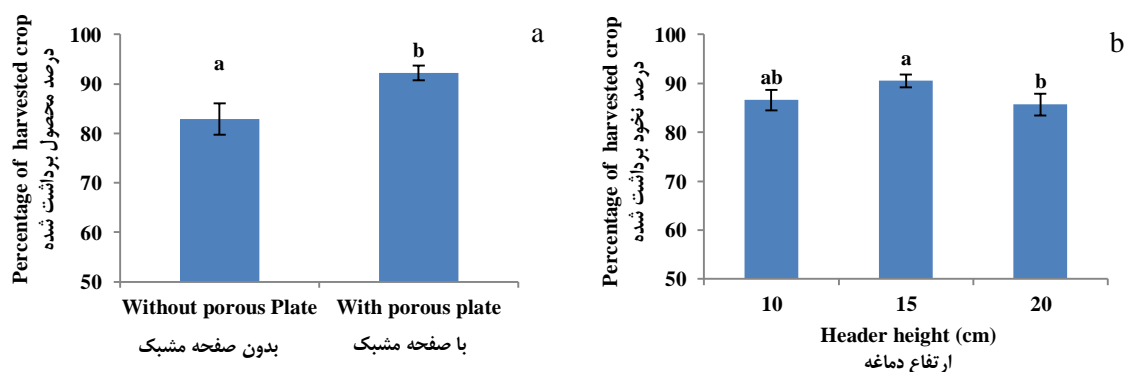
منابع تغییرات Source of variances	درجه آزادی DF	مجموع مربعات Sum of squares	میانگین مربعات Mean squares	F-value	
نخود برداشت شده Harvested Chickpea	صفحه مشبک Perforated plate	1	0.0417	0.0417	129.53**
	ارتفاع دماغه Header height	2	0.00601	0.00301	9.34°
	فاصله چرخ فلک Reel distance	2	0.0048	0.00024	0.75
	صفحه مشبک × ارتفاع دماغه Header height × Perforated plate	2	0.355	0.00177	5.51
	صفحه مشبک × فاصله چرخ فلک Reel distance × Perforated plate	2	0.0098	0.00049	1.52
	ارتفاع دماغه × فاصله چرخ فلک Reel distance × Header height	4	0.0015	0.00004	0.12
	صفحه مشبک × ارتفاع دماغه × فاصله افقی چرخ فلک Reel distance × Header height × Perforated plate	4	0.0053	0.0025	1.12
	Error خطا	27	0.0101	-	-
	Total مجموع	44	0.43421	-	-
	مقدار ریزش نخود Chickpea Loss	صفحه مشبک Perforated plate	1	0.02452	0.02452
ارتفاع دماغه Header height		2	0.00098	0.00049	10.8°
فاصله چرخ فلک Reel distance		2	0.0016	0.00008	1.75
صفحه مشبک × ارتفاع دماغه Header height × Perforated plate		2	0.00093	0.00046	10.28°
صفحه مشبک × فاصله چرخ فلک Reel distance × Perforated plate		2	0.00008	0.00004	0.9
ارتفاع دماغه × فاصله چرخ فلک Reel distance × Header height		4	0.00064	0.00016	3.52
صفحه مشبک × ارتفاع دماغه × فاصله چرخ فلک Perforated plate × Header height × Reel distance		4	0.00722	0.0007	0.152
Error خطا		27	0.0016	-	-
Total مجموع		44	0.03757	-	-
نخود مانده روی بوته Residual Chickpea on the Plant		صفحه مشبک Perforated plate	1	0.00169	0.00169
	ارتفاع دماغه Header height	2	0.00075	0.00038	3.85
	فاصله چرخ فلک Reel distance	2	0.00502	0.00251	25.77**
	صفحه مشبک × ارتفاع دماغه Header height × Perforated plate	2	0.00056	0.00028	2.88
	صفحه مشبک × فاصله چرخ فلک Reel distance × Perforated plate	2	0.00049	0.00024	2.51
	ارتفاع دماغه × فاصله چرخ فلک Reel distance × Header height	4	0.00129	0.00032	3.32
	صفحه مشبک × ارتفاع دماغه × فاصله چرخ فلک Reel distance × Header height × Perforated plate	4	0.0013	0.002	1.952
	Error خطا	27	0.0012	-	-
	Total مجموع	44	0.0124	-	-

\*\* بسیار معنی دار (در سطح ۱٪)؛ \* معنی دار (در سطح ۵٪)؛ Significant at level 1% (در سطح ۱٪)؛ \* معنی دار (در سطح ۵٪)؛ Significant at level 5% (در سطح ۵٪)

در هر دو حالت امکان بازگشت غلاف یا ساقه به مزرعه تا حد زیادی کاهش می‌یابد. این میزان برداشت برای حالت با صفحه مشبک به صورت میانگین ۹۲/۲۵ درصد بود. از طرف دیگر با افزایش ارتفاع دماغه بردارنده از ۱۰ سانتی‌متر به ۱۵ سانتی‌متر میزان برداشت افزایشی شده و سپس در ارتفاع ۲۰ سانتی‌متر کاهش می‌یابد. این روند افزایشی و کاهشی شاید به این دلیل باشد که با در ارتفاع ۱۰ سانتی‌متر حجم بیشتری از ساقه وارد دماغه شده و امکان جدایش به دلیل انباشت زیاد بوته نخود کاهش یافته و احتمال بازگشت یا پرتاب بوته به بیرون از دماغه افزایش می‌یابد. با افزایش ارتفاع از ۱۵ سانتی‌متر به ۲۰ سانتی‌متر به دلیل پاکوتاه بودن و دیمی بودن واریته، غلاف‌ها بدون برداشته شدن در مزرعه باقی‌مانده و از دسترس خارج می‌گردد. در تحقیقات مشابه نیز موارد اشاره شده گزارش شده است (Golpira et al., 2013; Zareei & Abdollahpour, 2013).

در شکل‌های ۴ تا ۶ مقایسه میانگین اثرات صفحه مشبک، ارتفاع دماغه و فاصله چرخ فلک از دماغه بر میزان برداشت، ریزش و مقدار نخود باقی‌مانده بر روی بوته نشان داده شده است که جداگانه در مورد هر شکل توضیحاتی ارائه می‌گردد.

اثرات وجود و عدم وجود صفحه مشبک و ارتفاع دماغه از سطح زمین بر شاخص‌های برداشت در شاخص سینماتیک ۱/۵ نشان داد که میزان محصول برداشت شده در این حالت با صفحه مشبک بیشتر از حالتی است که صفحه مشبک موجود نیست. همان طور که اشاره شد این اثر معنی‌دار و به عبارتی تاثیر زیادی دارد. در این حالت با جدایش غلاف‌ها از بوته مستقیماً غلاف به صورت احتمالی در یکی از سوراخ‌های صفحه جای گرفته و در قسمت پشت صفحه مشبک جمع‌آوری شده و از آنجا خارج می‌شود. علاوه بر آن حتی با جدایش ساقه‌ها به دلیل سایش مناسبی که بین صفحه و پره چرخ فلک وجود دارد غلاف‌ها به خوبی جدا شده و از شبکه توری مانند عبور می‌کنند.

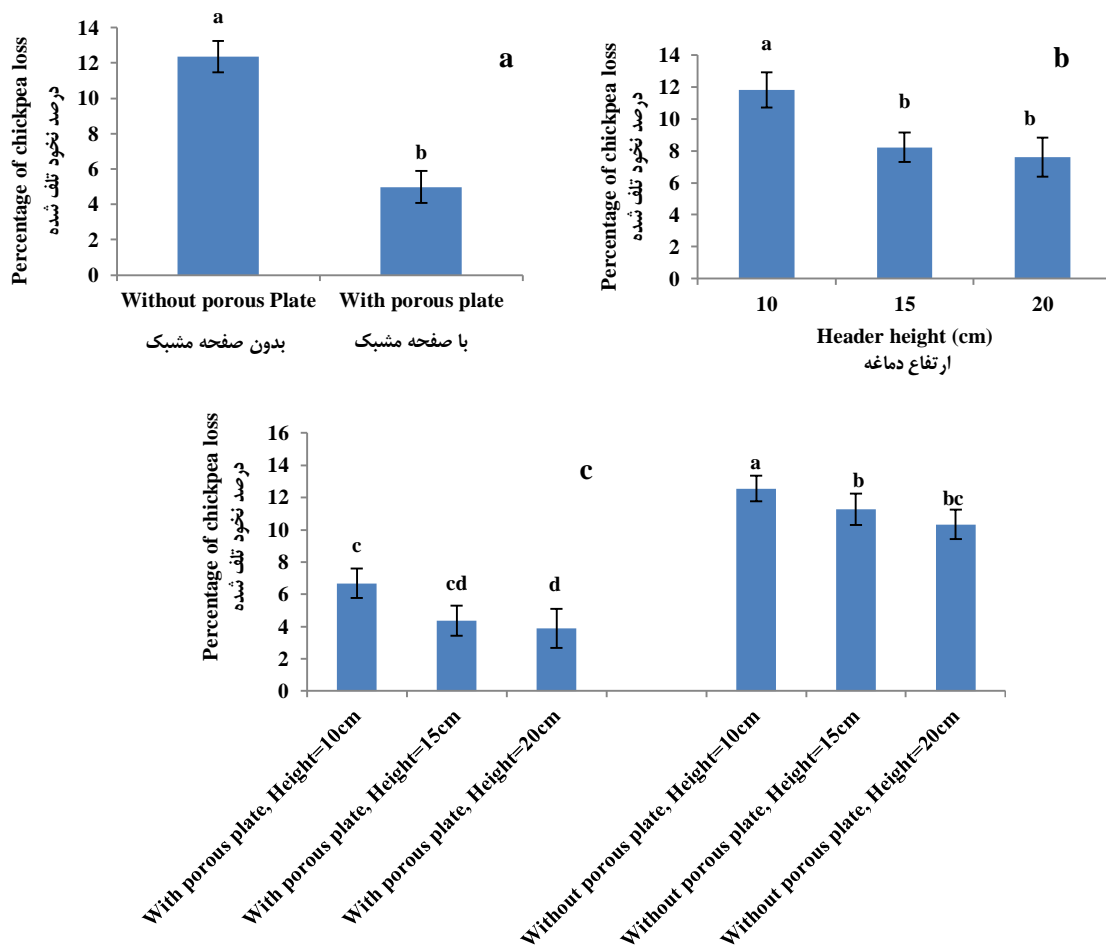


شکل ۴- مقایسه میانگین (a) اثرات وجود یا عدم وجود صفحه مشبک و (b) ارتفاع دماغه بر درصد محصول برداشت شده

Fig. 4. Comparison of the mean effects of a) the perforated plate and b) header height on the percentage of harvested crop

۲۰ سانتی‌متر چون ساقه کمتری نسبت به ارتفاع ۱۰ سانتی‌متر وارد سامانه می‌شود، بنابراین میزان ریزش کاهش می‌یابد. میزان تغییرات درصد ریزش بین ارتفاع ۱۵ و ۲۰ سانتی‌متر معنی‌دار نیست. در مطالعه دیگر، نتیجه مشابه گزارش برای حالت دیگری از ماشین برداشت نخود ارائه شده است که با افزایش ارتفاع برداشت میزان ریزش افزایش می‌یابد (Golpira et al., 2013).

در شکل ۵ مقایسه میانگین اثرات صفحه مشبک و ارتفاع دماغه بر پارامترهای برداشت در شاخص سینماتیک ۱/۵ نشان داده شده است. همان طور که در شکل مشخص است، مقدار نخود ریزش شده و صفحه مشبک ارتباط مستقیم با هم دارند. به طوری که در تیمارهایی که صفحه مشبک در سامانه وجود ندارد، مقدار ریزش محصول بیشینه است. بیشترین مقدار آن در حالت بدون صفحه مشبک در ارتفاع ۱۰ سانتی‌متر اتفاق می‌افتد (۱۲/۵۸ درصد). در حالت بدون شبکه با ارتفاع

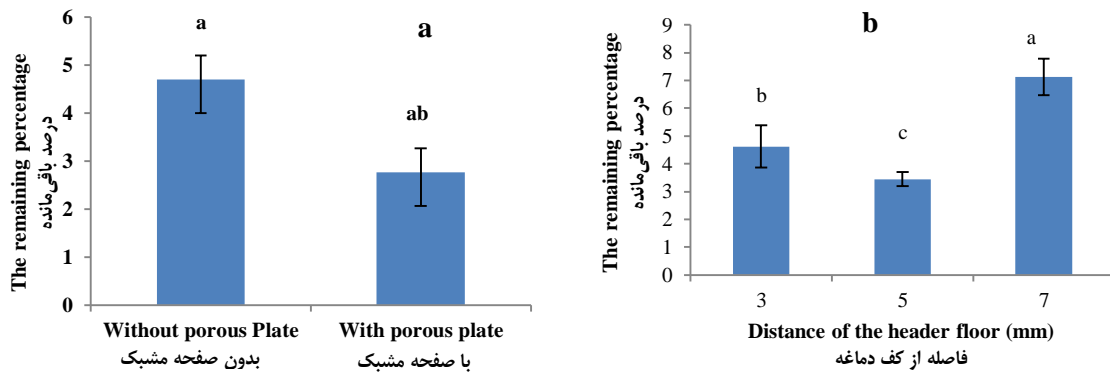


شکل ۵- مقایسه میانگین اثرات (a) وجود یا عدم وجود صفحه مشبک و (b) ارتفاع دماغه و (c) اثر متقابل آن‌ها بر متغیرهای بر درصد ریزش محصول

Fig. 5. Comparison of the mean effects of a) perforated plate, b) header height and c) the interactions on the percentage of chickpea loss

غلاف به راحتی از زیر چرخ فلک رها شده و اگر چنانچه شکستگی رخ ندهد بر روی بوته باقی می ماند. از طرف دیگر با فاصله ۳ میلی متر احتمال شکستگی محصول نخود دور از انتظار نخواهد بود. بنابراین با توجه به مقادیر برداشت، ریزش و باقی مانده محصول روی بوته می توان چنین اظهار داشت که بهترین ترکیب برای برداشت با این سامانه، استفاده از صفحه مشبک در ارتفاع برداشت ۱۵ سانتی متر و فاصله بین چرخ فلک و دماغه به اندازه ۵ میلی متر اتفاق می افتد. در این حالت میزان برداشت، ریزش و باقی مانده روی غلاف ۹۴/۶۱ درصد، ۳/۶۱ درصد و ۱/۷۸ درصد می باشد.

در شکل ۶ (الف و ب) مقایسه میانگین اثرات صفحه مشبک و فاصله چرخ فلک از کف دماغه بردارنده در شاخص سینماتیک ۱/۵ نشان داده شده است که اثر هر کدام از موارد اشاره شده بر محصول باقی مانده بر روی بوته به ترتیب در سطح ۵ و یک درصد معنی دار است. با قرار دادن صفحه مشبک در سامانه، به دلیل وجود سایش در هنگام برداشت، به خصوص برای بوته های با ارتفاع بیشتر از ۱۵ سانتی متر، ساقه بر روی صفحه مشبک خوابانده شده و با برخورد چرخ فلک با ساقه قسمت اعظمی از غلاف ها کنده می شوند. همچنین میزان محصول باقی مانده بر روی بوته با افزایش فاصله از کف دماغه برداشت، افزایش می یابد. اما اختلاف بین دو فاصله ۳ و ۵ میلی متر معنی دار نمی باشد. بیشترین میزان محصول باقی مانده در فاصله ۷ میلی متر، اتفاق می افتد و مقدار آن ۷/۱۲ درصد بود. در این فاصله

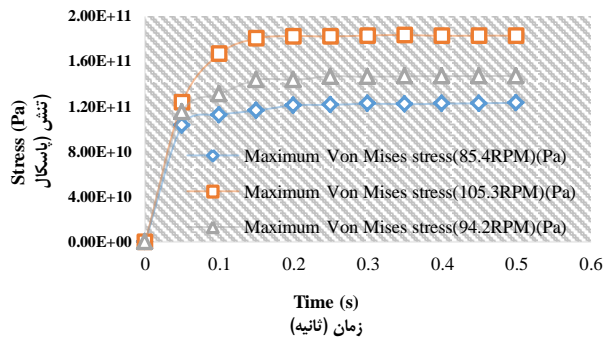
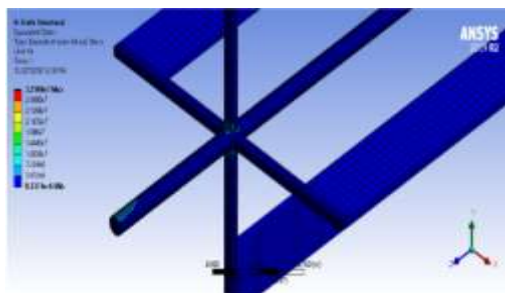


شکل ۶- مقایسه میانگین اثرات (a) صفحه مشبک و (b) فاصله از کف دماغه بر درصد محصول باقی‌مانده بر روی بوته

Fig. 6. Comparison of the mean effects of the a) perforated plate and b) distance of the header floor on the percentage of chickpea remaining on the plant

برخوردار است. در منابع دیگر نیز برای حالت استاتیکی ماشین‌ها، مقادیر ضریب اطمینان بیشتر از ۲ به‌عنوان نقطه امن در نظر گرفته شده است (Srivastava et al., 2006). مقدار بیشینه تنش ایجاد شده در چرخ فلک در محل اتصال به دماغه به دلیل وزن آن اتفاق می‌افتد. هم‌چنین در شکل ۷ نمودارهای همگرایی در مقدار تنش بیشینه ایجادشده در چرخ فلک به ازای مقادیر مختلف شاخص سینماتیک نشان داده شده است. پاسخ‌های تنش بیشینه در بازه زمانی ۰/۵ ثانیه همگرا شدند.

در این قسمت نتایج حاصل از مدل‌سازی و تحلیل تنش در چرخ فلک ماشین برداشت نخود مورد بحث قرار می‌گیرد. ابتدا نتایج تحلیل استاتیکی و سپس نتایج تحلیل دینامیکی ارائه می‌گردد. در شکل ۷ نتایج حاصل از خروجی نرم‌افزار Ansys برای تحلیل استاتیکی چرخ فلک نشان داده شده است. مقدار کمینه تنش ۳/۳۱ و بیشینه تنش ۶/۵۰ مگاپاسکال بود که مقدار بیشینه تنش در مقایسه با تنش تسلیم دماغه خیلی کوچک است. لذا ضریب اطمینان دماغه تحت بارگذاری استاتیکی بسیار بالا بوده و دماغه از استحکام کافی



شکل ۷- همگرایی در تنش ماکزیمم بر اساس معیار ون میسز در مقادیر مختلف سرعت دورانی چرخ فلک و کانتورهای تنش حاصل از تحلیل استاتیکی چرخ فلک

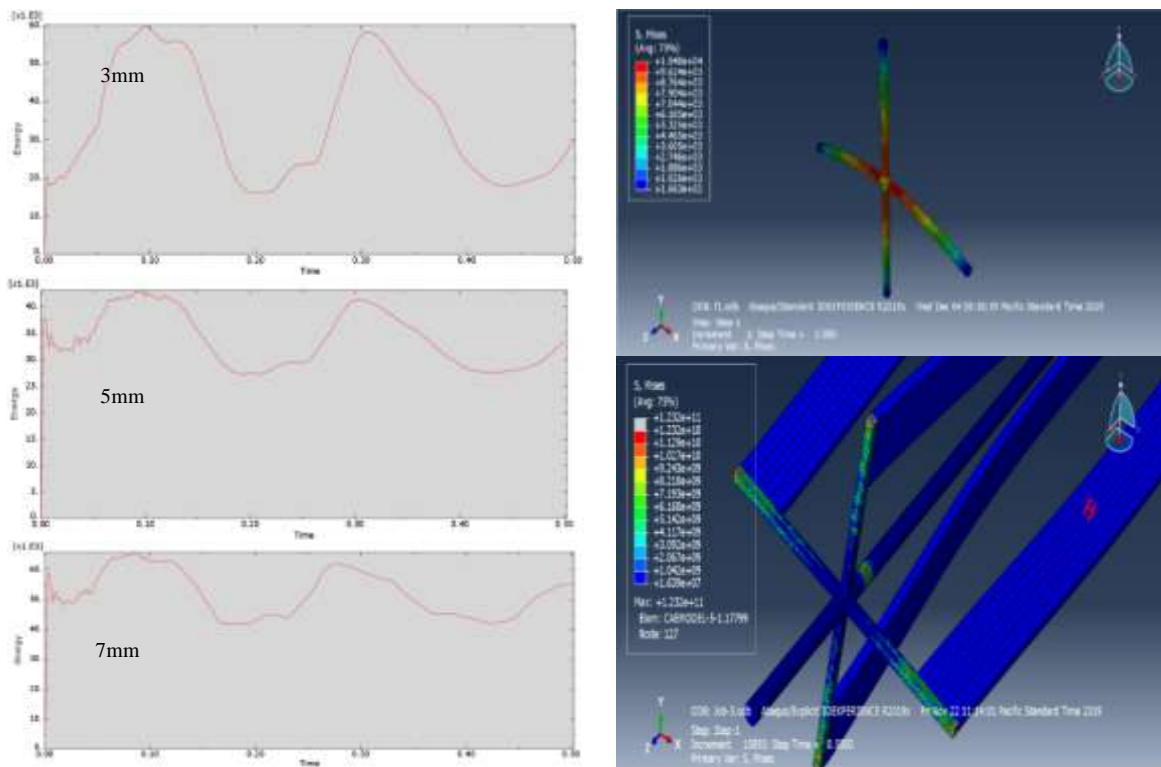
Fig. 7. Convergence in maximum stress based on Von Mises criterion in the rotational speed of the reel and stress contours obtained from the static analysis the reel

که مقدار بیشینه در فاصله عمودی ۳، ۵ و ۷ میلی‌متر به ترتیب برابر با ۳۲/۲، ۴۰/۱ و ۵۲/۷ مگاپاسکال مشاهده شد. همان‌طور که نتایج نشان می‌دهد با کاهش فاصله عمودی، نیروی اعمالی به پره‌ها افزایش یافته، میزان تنش ایجاد شده در چرخ فلک نیز افزایش می‌یابد. بنابراین فرآیند بهینه‌سازی تا حدی انجام شد که کم‌ترین میزان تنش

در شکل ۸ تغییرات تنش بر پایه معیار ون میسز و کرنش در چرخ فلک و اجزای آن با تغییر سرعت دورانی اعمال شده بر آن نشان داده شده است. کمترین میزان کرنش و تنش با رنگ آبی و بیشترین آن با رنگ قرمز مشخص شده است. بیشینه تنش ون میسز ایجادشده در چرخ فلک با افزایش شاخص سینماتیک افزایش یافت. به طوری

قاب چرخ فلک مشاهده شد لذا به طور جداگانه قاب چرخ فلک تحلیل شد. بیشینه تنش برشی در شکل ۸ نشان داده شده است. همان طور که مشخص است بیشینه تنشی که بر قاب وارد می شود  $10/48$  مگا پاسکال است که مقدار آن نسبت به تنش تسلیم قاب خیلی کمتر است. با توجه به نتایج مدل سازی و آنالیز دینامیکی چرخ فلک با تغییر سرعت دورانی و حرکت، قطر میله وسط از  $18$  به  $25$  میلی متر تغییر یافت اما ابعاد پره تغییر محسوسی نکرد. علاوه بر آن ضخامت پره ها از  $18$  به  $13$  میلی متر و ابعاد میله های اتصال دهنده پره ها به شفت میانی از سطح مقطع  $20$  در  $20$  میلی متر مربع به  $12$  در  $14$  میلی متر مربع و به صورت تصحیح شده  $10$  در  $20$  میلی متر مربع تغییر یافت.

و کرنش در آن ایجاد گردد. بیشترین میزان تنش ون میسرز مربوط به قسمت اتصال پره ها و قاب نگه دارنده پره ها بود؛ به عبارت دیگر قاب نگه دارنده به دلیل اعمال نیرو از طرف پره ها همواره در معرض بیشینه تنش برشی قرار دارد. تنش برشی در محل تماس پره های چرخ فلک  $22/7$  مگا پاسکال می باشد. کرنش ایجاد شده به ازای مقادیر بیشینه تنش برشی در محل وسط پره ها و مقدار آن برابر با  $0/304$  مشاهده شد. آنالیز دینامیکی پره های چرخ فلک نشان داد که بیشترین تغییر طول مربوط به لبه های پره ی چرخ فلک است که مقدار آن در انتهای خارجی بیشتر است و بیشترین جابه جایی یا کش آمدگی را دارد. این امر به دلیل نیروی گریز از مرکز و نیروی وارد از سمت بوته ها به پره های چرخ فلک بود. با توجه به این که بیشینه تنش برشی در محل



شکل ۸- توزیع تنش برشی و خمشی در میله ها و پره های چرخ فلک و تغییرات انرژی جنبشی در چرخ فلک در  $1/5$  دور گردش چرخ فلک در شاخص سینماتیک  $1/5$  برای فاصله عمودی  $3$ ،  $5$  و  $7$  میلی متر

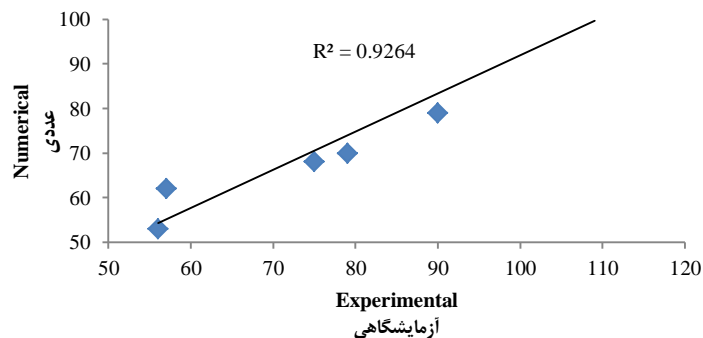
**Fig. 8.** Distribution of shear and bending stress in the rods and blades of the reel and variations of kinetic energy in the reel in 1.5 rounds of rotation via kinematic index of 1.5 for vertical distance of 3, 5 and 7 mm

شده در آنالیز یک قطعه که با نرم افزار صورت گرفته مطابقت دارد (Li, Chen, Zhang, & Tong, 2013). لازم به ذکر است خطای به وجود آمده در نرم افزار آباکوس شاید به دلیل ایده آل در نظر گرفتن ویژگی های فیزیکی و مکانیکی مصالح استفاده شده در سامانه باشد. ویژگی های محیطی نیز از دیگر عواملی است که می تواند باعث به وجود آمدن خطا در نتایج آزمایشگاهی باشد. علاوه بر آن با ارزیابی-

نتیجه حاصل از اعتبارسنجی مدل سه بعدی (با استفاده از کرنش سنج ها) در شکل ۹ نمایش داده شده است. با توجه به شکل مشخص است که مدل سازی انجام شده با نرم افزار آباکوس به خوبی ( $R^2 > 0.9264$ ) توانسته است میزان تنش در قسمت های مختلف چرخ فلک را پیش بینی کند؛ بنابراین نتایج به دست آمده برای تنش و بهینه سازی با قطعیت بالای  $92$  درصد اعتبار دارند که با مقادیر اشاره

یابد. تاثیر عامل اشاره شده بایستی به صورت عملی نیز در مزرعه مورد بررسی قرار گیرد.

های انجام شده و با توجه به میزان کاهش وزن سامانه و مقاومت غلته‌ی، توان مورد نیاز برای کشتش سامانه به اندازه حداقل ۲/۷۶ اسب بخار کاسته می‌شود. انتظار می‌رود میزان مانورپذیری نیز بهبود



شکل ۹- میزان همبستگی داده‌های آزمایشگاهی با داده‌های عددی حاصل از نرم‌افزار آباکوس

Fig. 9. The correlation between experimental and numerical data obtained from Abaqus software

## نتیجه‌گیری

فاصله بین چرخ‌فلک و کف دماغه به ترتیب در سطح یک و پنج درصد معنی‌دار بودند. با کم شدن فاصله گیرایی بین محصول و چرخ‌فلک افزایش یافته و احتمال باقی‌مانده محصول بر روی بوته به‌طور محسوسی کاهش می‌یابد. بهینه‌ترین حالت برای برداشت نخود با سامانه با صفحه مشبک، در ارتفاع ۱۵ سانتی‌متر و فاصله ۵ میلی‌متر اتفاق می‌افتد. با توجه به نتایج مدل‌سازی دینامیکی چرخ‌فلک، قطر میله وسط از ۱۸ به ۲۵ میلی‌متر تغییر یافت. علاوه بر آن، ضخامت پره‌ها از ۱۸ به ۱۳ میلی‌متر و ابعاد سطح مقطع میله‌های اتصال‌دهنده پره‌ها به شفت میانی از ۲۰ در ۲۰ میلی‌متر مربع به ۱۲ در ۱۴ میلی‌متر مربع و به صورت تصحیح شده ۱۰ در ۲۰ میلی‌متر مربع تغییر پیدا نمود. پیشنهاد می‌شود برای بهبود کارایی سامانه تغییری در اندازه و تعداد سوراخ‌های صفحه و زاویه قرارگیری آن صورت گیرد.

در این تحقیق برای عملکرد مناسب و افزایش کارایی سامانه، تغییراتی روی ماشین برداشت نخود شامل ساختار و وزن سامانه انجام شد. نتایج آماری نشان داد تأثیر پارامترهای مستقل صفحه مشبک، ارتفاع برداشت بر میزان درصد برداشت محصول به ترتیب در سطح یک و پنج درصد معنی‌دار است. با توجه به نتایج آنالیز واریانس و نمودارهای مقایسه میانگین‌ها بیشترین مقدار برداشت محصول در حالت با صفحه مشبک و ارتفاع ۱۵ سانتی‌متر اتفاق می‌افتد. همچنین تأثیر صفحه مشبک و ارتفاع برداشت به ترتیب در سطح یک و پنج درصد معنی‌دار شدند. اثر متقابل صفحه مشبک و ارتفاع بردارنده نیز در سطح پنج درصد معنی‌دار بود. با افزودن صفحه مشبک به دلیل سایش مناسب بین چرخ‌فلک و صفحه، میزان ریزش در مزرعه کاهش یافت. در مورد محصول باقی‌مانده بر روی بوته نیز صفحه مشبک و

## References

- Anjum, N. A. (2016). Book Review: *Legumes under environmental stress: yield, Improvement and adaptations*. Frontiers in Plant Science. Wiley and Sons.
- Baruah, D. C., & Panesar, B. S. (2005). Energy requirement model for a combine harvester, part I: Development of component models. *Biosystems Engineering*, 90(1), 9-25. <https://doi.org/10.1016/j.biosystemseng.2004.08.017>
- Behroozi-Lar, M., & Huang, B. K. (2002). Design and development of chickpea combine. *Agricultural Mechanization in Asia Africa and Latin America*, 33(1): 35-38.
- Dehghan-Hesar, H., & Kalantari, D. (2019). Design and Evaluation of Two New Biomimetic Blades for Reducing the Shear Energy Required for Cutting Herbal Plants. *Journal of Agricultural Machinery*, 9(2), 265-278. (in Persian with English abstract). <https://doi.org/10.22067/jam.v9i2.69843>
- Ebrahimi-Nik, M. A., Khademolesseini, N., Abbaspour-Fard, M. H., Mahdini, A., & Alami-Saied, K. (2009). Optimum utilisation of low-capacity combine harvesters in high-yielding wheat farms using multi-criteria decision making. *Biosystems Engineering*, 103(3), 382-388. <https://doi.org/10.1016/j.biosystemseng.2009.04.009>
- Golpira, H., Tavakoli, T., Khoshtaghaza, M. H., & Minaei, S. (2009). Mechanical properties of chickpea to design of harvesting machines. *Agricultural Science*, 19 (2), 23-31.
- Golpira, H., Tavakoli, T., & Baerdemaeker, J. D. (2013). Design and development of a chickpea stripper

- harvester. *Spanish Journal of Agricultural Research*, 11(4), 929-934. <http://doi.org/10.5424/sjar/2013114-3393>
8. Golpira, H. (2015). Redesign and evaluation of chickpea harvester. *Journal of Biosystems Engineering*, 40(2), 102-109.
  9. Golpira, H., & Golpira, H. (2017). Soft simulator for redesigning of a chickpea harvester header. *Computers and Electronics in Agriculture*, 135: 252-259. <https://doi.org/10.1016/j.compag.2017.02.018>
  10. Griffin, G. A. (1973). *Fundamentals of machine operation: combine harvesting*. John Deere Service Publications.
  11. Guler, M., Sait-Adak, M., & Ulkan, H. (2001). Determining relationships among yield and some yield components using path coefficient analysis in chickpea. *European Journal of Agronomy*, 14(2), 161-166. [https://doi.org/10.1016/S1161-0301\(00\)00086-1](https://doi.org/10.1016/S1161-0301(00)00086-1)
  12. Hanna, H. M., & Quick, G. R. (2007). *Grain harvesting machinery design*. Handbook of farm, dairy and food machinery (Kutz M, edn). William Andrew Inc, Delmar, NY: 93-111.
  13. Hirai, Y., Inoue, E., & Mori, K. (2004). Application of a quasi-static stalk bending analysis to the dynamic response of rice and wheat stalks gathered by a combine harvester reel. *Biosystems Engineering*, 88(3), 281-294. <https://doi.org/10.1016/j.biosystemseng.2004.04.010>
  14. Jalali, A., & Abdi, R. (2014). The effect of ground speed, reel rotational speed and reel height in harvester losses. *Journal of Agriculture and Sustainability*, 5(2), 221-231.
  15. Konak, M., Carman, K., & Aydin, C. (2002). Physical properties of chickpea seeds. *Biosystems Engineering*, 82(1), 73-78. <https://doi.org/10.1006/bioe.2002.0053>
  16. Li, M., Chen, D., Zhang, S., & Tong, J. (2013). Biomimetic design of a stubble-cutting disc using Finite Element Analysis. *Journal of Bionic Engineering*, 10(1): 118-127. [https://doi.org/10.1016/S1672-6529\(13\)60206-1](https://doi.org/10.1016/S1672-6529(13)60206-1)
  17. Mahmoudi, K. (2016). *Design, development and evaluation of a chickpea stripper header*. Faculty of Agriculture, University of Kurdistan, Sanadaj, Iran. (in Persian).
  18. Mansori-Rad, D. (2006). *Tractors and agricultural machinery* (Volume II). Bu-Ali Sina University Press.
  19. Mardani, K. (2016). *Design, manufacturing and evaluation of a chickpea harvesting machine*. Faculty of Agriculture, Urmia University, Urmia, Iran. (in Persian).
  20. Miller, M. D., Wright, M. E., Mailander, M. P., & Beard, J. (1990). A two-link harvester reel. *Applied Engineering in Agriculture*, 6(2), 131-137.
  21. Modares Motlagh, A., Rostampour, V., & Mardani, K. (2018). Design, fabrication and evaluation of a short-legged chickpea harvest machine. *Iranian Journal of Biosystems Engineering*, 49, 83-94. <https://doi.org/10.22059/ijbse.2017.236196.664962>
  22. Razavi, S. M. A., Zaerzadeh, E., Khafaji, N., & Pahlevani, M. (2010). Some physical properties of seeds and splits of Desi chickpea (Kaka var). *Iran Journal Pulses Research*, 1(1): 77-83. <https://doi.org/10.22067/ijpr.v1i1.6357>
  23. Samineni, S., Siddique, K. H. M., Gaur, P. M., & Colmer, T. D. (2011). Salt sensitivity of the vegetative and reproductive stages in chickpea (*Cicer arietinum* L.): Podding is a particularly sensitive stage. *Environmental and Experimental Botany*, 71(2), 260-268. <https://doi.org/10.1016/j.envepbot.2010.12.014>
  24. Shahbazi, F. (2011). Impact damage to chickpea seeds as affected moisture content and impact velocity. *Applied Engineering in Agriculture*, 27(5), 771-775. <http://doi.org/10.13031/2013.39557>
  25. Shigley, J. E. (2011). *Shigley's mechanical engineering design*. McGraw-Hill.
  26. Sidahmed, M., & Jaber, N. (2004). The design and testing of a cutter and feeder mechanism for the mechanical harvesting of lentils. *Biosystems Engineering*, 88, 295-304. <https://doi.org/10.1016/j.biosystemseng.2004.04.002>
  27. Singh, U., Gaur, P., Singh, G., & Chaturvedi, S. J. F. M. F. P. (2018). *Mechanical Harvesting of Chickpea: Agronomic Interventions*. 196.
  28. Srivastava, A. K., Goering, C. E., Rohrbach, R. P., & Buckmaster, D. R. (2006). Engineering principles of agricultural machines. *Engineering Principles of Agricultural Machinery*, 3, 325-402. <https://doi.org/10.13031/epam.2013>
  29. Tieppo, R. C., Romanelli, T. L., Milan, M., Sorensen, C. A. G., & Bochtis, D. (2019). Modeling cost and energy demand in agricultural machinery fleets for soybean and maize cultivated using a no-tillage system. *Computers and Electronics in Agriculture*, 156, 282-292. <https://doi.org/10.1016/j.compag.2018.11.032>
  30. Zandiyeh, S. 2016. *Design, development and evaluation of an automatic system to control the reel speed of the grain combine harvester*. M.Sc. Thesis. Faculty of Agriculture, University of Kurdistan, Sanadaj, Iran. (in Persian).
  31. Zareei, S., & Abdollahpour, Sh. (2016). Modeling the optimal factors affecting combine harvester header losses. *Agricultural Engineering International: CIGR Journal*, 18(2), 60-65.
  32. Zobeiri, M., Rostampour, V., Rezvanivand Fanaei, A., & Nikbakht, A. M. (2020). Experimental and numerical investigation of deviation blade effect on sedimentation chamber performance in chickpea harvesting machine. *Iranian Biosystems Engineering*, 51, 329-339. <https://doi.org/10.22059/ijbse.2020.276317.665166>